

Méthode SPH implicite d'ordre 2 appliquée
à des fluides incompressibles
Smoothed-particle hydrodynamics

Damien Rioux Lavoie
Université de Montréal

2 janvier 2016

Introduction

Formalisme lagrangien et Navier-Stokes

Discrétisation temporelle

Smoothed-particle hydrodynamics

Traitement des frontières

Écoulement de Poiseuille

Conclusion

References

- ▶ C'est une méthode **sans maillage** utilisant un formalisme **lagrangien**.
- ▶ Développé par Gingold et Monaghan en 1977 et, indépendamment la même année, par Lucy.
- ▶ Développement par Cummins, en 1999, d'une méthode complètement incompressible utilisant la **méthode de projection** développée par Chorin en 1968.
- ▶ **Avantages** : Interprétation naturelle, traitement des géométries complexes, traitement des déformations du domaine, calcul concentré là où il y a des particules...
- ▶ **Application** : Astrophysique, écoulements multi-phases, écoulements avec surface libre, impacts et explosions...

- ▶ **Weakly compressible smoothed-particle hydrodynamics (WCSPH)**
 - ▶ On suppose que le fluide est **légèrement compressible**.
 - ▶ Introduit une **vitesse du son** pour relier la pression et la densité volumique.
 - ▶ Entraîne une **condition CFL très stricte** sur le pas de temps.
 - ▶ Fluctuation de la densité peut conduire à des oscillations importantes de la pression et donc de l'instabilité.
 - ▶ Réflexion sur les frontières.
- ▶ **Projection smoothed-particle hydrodynamics (PSPH)**
 - ▶ Complètement **incompressible**.
 - ▶ Méthode de projection introduisant des **champs auxiliaires**.
 - ▶ Solutions plus lisses.
 - ▶ Les conditions aux limites à appliquer sur les champs auxiliaires sont non triviales.

- ▶ Écoulement **planaire** dans un intervalle de temps $I = (-\epsilon, \epsilon) \subset [-T, T]$.
- ▶ Temps initial $t = 0$.
- ▶ Soit Ω_0 , ouvert, le **domaine géométrique** en $t = 0$, munie de la **frontière** $\Gamma_0 = \bar{\Omega}_0 \setminus \Omega_0$.
- ▶ Soit Ψ le **domaine matériel**. il s'agit de l'ensemble des étiquettes i des particules matérielles.
- ▶ Soit $i \in \Psi$, partant de la position initiale $\underline{\xi}_i \in \Omega_0$. la **trajectoire** de i , noté $\underline{x}_i(t)$, est la solution de :

$$\frac{d}{dt} \underline{x}_i(t) = \underline{u}(\underline{x}_i(t), t) \quad t \in I, \quad \underline{x}_i(t_0) = \underline{\xi}_i$$

ou $\underline{u} : \mathbb{R}^2 \times I \rightarrow \mathbb{R}^2$ est le **champs de vitesse** de l'écoulement.

- ▶ Soit la famille d'application $\{S(t)\}_{t \in I}$, nommé le **flot**, définit par :

$$S(t) : \mathbb{R}^2 \rightarrow \mathbb{R}^2$$

$$\underline{\xi}_i \mapsto S(t)\underline{\xi}_i = \underline{x}_i(t)$$

- ▶ On définit $\Omega(t) = S(t)\Omega_0 = \{S(t)\underline{\xi}_i \mid \underline{\xi}_i \in \Omega_0\}$ et $\Gamma(t) = S(t)\Gamma_0$.
- ▶ On définit la **dérivée matérielle** :

$$\frac{D}{Dt} f(\underline{x}_i, t) = \frac{d}{dt} f(\underline{x}_i(t), t)$$

$$= \frac{\partial}{\partial t} f(\underline{x}_i, t) + \underline{u}(\underline{x}_i, t) \cdot \underline{\nabla} f(\underline{x}_i, t)$$

- ▶ Nous allons employer la notation $\Omega \times I = \bigcup_{t \in I} \Omega(t) \times \{t\}$.

Nous avons deux approches différentes pour décrire l'écoulement :

Eulérien (\underline{x}, t) : On étudie un point arbitraire $\underline{x} \in \mathbb{R}^2$ et considérons le champs de vitesse $\underline{u}(\underline{x}, t)$ en ce point. On étudie donc le **domaine géométrique** Ω .

Lagrangien $(\underline{\xi}_i, t)$: On étudie une particule $i \in \Psi$, de coordonnée initiale $\underline{\xi}_i \in \Omega_0$, et considérons sa trajectoire $\underline{x}_i(t) = S(t)\underline{\xi}_i$. On étudie donc le **domaine matériel** Ψ .

Nous allons nous concentrer sur l'approche lagrangienne.

- ▶ Un fluide **incompressible**, est un fluide tel que $\frac{D\rho}{Dt} = 0$, ou $\rho: \Omega \times I \rightarrow \mathbb{R}$ est la **densité**.
- ▶ Un fluide **newtonien** est un fluide dont la vitesse de déformation est une fonction linéaire du gradient de la vitesse.
- ▶ Les **équations de Navier-Stokes** pour un fluide incompressible newtonien sont :

$$\begin{aligned} \frac{D\underline{u}}{Dt} &= \frac{1}{\rho} \underline{\nabla} \cdot \underline{\underline{\sigma}} + \underline{f} && \text{dans } \Omega \times I \\ \underline{\underline{\sigma}} &= -p\underline{\underline{\delta}} + \eta (\underline{\nabla}\underline{u} + (\underline{\nabla}\underline{u})^T) \\ \underline{\nabla} \cdot \underline{u} &= 0 && \text{dans } \Omega \times I \end{aligned}$$

ou $\underline{f}: \Omega \times I \rightarrow \mathbb{R}^2$ la **force par unité de masse** associée à la **force externe** \underline{F}_V , η est la **viscosité** et $\underline{\underline{\sigma}}: \mathbb{R}^2 \rightarrow \mathbb{R}^{2 \times 2}$ le **tenseur des contraintes**.

- ▶ Soit L une **longueur de référence** et U une **vitesse de référence**, de l'écoulement.
- ▶ Les **variables adimensionnées** sont :

$$\underline{x} = L\underline{x}^*, \underline{u} = U\underline{u}^*, t = \frac{L}{U}t^*, p = \frac{\eta U}{L}p^*, \underline{f} = \frac{U^2}{L}\underline{f}^* .$$

- ▶ On définit le **nombre de Reynold** $Re = \frac{\rho UL}{\eta}$, une constante sans dimension.

- ▶ On suppose que la viscosité est constante
- ▶ On obtient la **forme de Laplace** des équations de Navier-Stokes adimensionnés :

$$\begin{aligned} \frac{D \underline{u}}{D t} &= \frac{1}{\text{Re}} (-\nabla p + \Delta \underline{u}) + \underline{f} && \text{dans } \Omega \times I \\ \nabla \cdot \underline{u} &= 0 && \text{dans } \Omega \times I \end{aligned}$$

- ▶ Nous avons laissé tomber la notation étoilée.

Theorem (Théorème de décomposition de Helmholtz-Hodge)

Soit $\underline{\xi} \in \mathcal{C}^1(\bar{\Omega})$, où Ω est un domaine ouvert de frontière Γ supposée lipschitzienne. Alors, il existe un champ vectoriel \underline{A} et un champ scalaire ϕ , définis sur $\bar{\Omega}$, tels que :

$$\underline{\xi} = \nabla \times \underline{A} + \nabla \phi = \underline{u} + \nabla \phi$$

Remarque

- ▶ Certaines hypothèses de l'énoncé peuvent être affaiblies.
- ▶ Lorsque $\Gamma \neq \emptyset$, il n'est pas toujours possible de garantir l'orthogonalité, au sens de L^2 , de la décomposition et elle n'est jamais unique. En effet, ceci dépendra des conditions aux frontières imposées sur \underline{u} et ϕ .

- ▶ Soit Δt , un intervalle de temps et la notation $t^n = n\Delta t$.
- ▶ Nous allons utiliser les notations \underline{x}_i^n et g_i^n pour désigner les valeurs approximatives de $\underline{x}_i(t^n)$ et $g(\underline{x}_i(t^n), t^n)$.
- ▶ On intègre la forme de Laplace de t^n à t^{n+1} **le long des trajectoires** $\underline{x}_i(t)$.
- ▶ On discrétise à l'aide d'une **différence centrée**, de la **méthode du trapèze** et celle du **point milieu** pour obtenir $\mathcal{O}(\Delta t^2)$.
- ▶ On **découple la vitesse de la pression** à l'aide du théorème de **décomposition de Helmholtz-Hodge** :

$$\underline{u}^{n+1} = \underline{u}^* - \Delta t \underline{\nabla} \phi^{n+1}$$

où nous choisissons ϕ^{n+1} de façon à **forcer l'incompressibilité** de \underline{u}^{n+1} .

Nous obtenons le schéma temporel d'ordre $\mathcal{O}(\Delta t^2)$:

$$\underline{u}_i^* - \frac{\Delta t}{2\text{Re}} \Delta \underline{u}_i^* = \underline{u}_i^n + \Delta t \left[-\frac{1}{\text{Re}} \underline{\nabla} q^{n+\frac{1}{2}} + \frac{1}{2\text{Re}} \Delta \underline{u}_i^n + \underline{f}_i^{n+\frac{1}{2}} \right]$$

$$\Delta \phi_i^{n+1} = \frac{1}{\Delta t} \underline{\nabla} \cdot \underline{u}_i^*$$

$$\underline{u}_i^{n+1} = \underline{u}_i^* - \Delta t \underline{\nabla} \phi_i^{n+1}$$

$$q^{n+\frac{1}{2}} = p_i^{n+\frac{1}{2}} - \text{Re} \phi_i^{n+1} + \frac{1}{2} \underline{\nabla} \cdot \underline{u}_i^* + K$$

$$\underline{x}_i^{n+1} = \underline{x}_i^n + \frac{\Delta t}{2} (\underline{u}_i^n + \underline{u}_i^{n+1})$$

En posant $q^{n+\frac{1}{2}} = 0$, nous obtenons le schéma PMIII :

$$\begin{aligned}
 \underline{u}_i^* - \frac{\Delta t}{2 \text{Re}} \Delta \underline{u}_i^* &= \underline{u}_i^n + \Delta t \left[\frac{1}{2 \text{Re}} \Delta \underline{u}_i^n + \underline{f}_i^{n+\frac{1}{2}} \right] \\
 \Delta \phi_i^{n+1} &= \frac{1}{\Delta t} \underline{\nabla} \cdot \underline{u}_i^* \\
 \underline{u}_i^{n+1} &= \underline{u}_i^* - \Delta t \underline{\nabla} \phi_i^{n+1} \\
 p_i^{n+\frac{1}{2}} &= \text{Re} \phi_i^{n+1} - \frac{1}{2} \underline{\nabla} \cdot \underline{u}_i^* + K \\
 \underline{x}_i^{n+1} &= \underline{x}_i^n + \frac{\Delta t}{2} (\underline{u}_i^n + \underline{u}_i^{n+1})
 \end{aligned}$$

Lorsque nous posons $q^{n+\frac{1}{2}} = p^{n-\frac{1}{2}}$, nous obtenons un schéma nommé PMII.

- ▶ Identité de convolution :

$$f(\underline{x}) = \int_{\Omega} f(\underline{x}') \delta(\underline{x} - \underline{x}') d\underline{x}'$$

où δ est la **distribution de Delta-Dirac**.

- ▶ On approxime $\delta(\underline{x})$ par une **fonction de lissage** $W(\underline{x}, h)$, munie d'une **longueur de lissage** h définissant un **support compact**.
- ▶ **Approximation de lissage** :

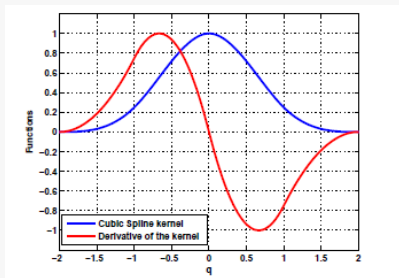
$$\langle f(\underline{x}) \rangle = \int_{\Omega} f(\underline{x}') W(\underline{x} - \underline{x}', h) d\underline{x}'$$

- ▶ Pour bien approximer δ , W doit satisfaire :
 1. Aire unité : $\int_{\Omega} W(\underline{x}, h) d\underline{x} = 1$.
 2. Convergence au sens des distributions : $\lim_{h \rightarrow 0} W(\underline{x}, h) = \delta(\underline{x})$.
- ▶ Les propriétés additionnelles suivantes sont aussi suggérées :
 3. Support compact sphérique : $\exists k > 0$ tel que $W(\underline{x}, h) = 0$ lorsque $|\underline{x}| > kh$.
 4. Symétrie : $W(\underline{x}, h) = W(-\underline{x}, h)$
 5. Décroissance : Elle doit décroître rapidement à mesure que l'on s'éloigne de $\underline{x} = \underline{0}$.

Nous avons opté pour la fonction **spline cubique** définie par :

$$W(r, h) = w_0 \begin{cases} \frac{2}{3} - q^2 + \frac{1}{2}q^3 & \text{si } 0 \leq q < 1 \\ \frac{1}{6}(2 - q)^3 & \text{si } 1 \leq q < 2 \\ 0 & \text{si } q \geq 2 \end{cases}$$

où $q = \frac{r}{h}$ et, pour $\Omega \subset \mathbb{R}^2$, $w_0 = \frac{15}{7\pi h^2}$.



le support compact est de rayon $2h$.

- ▶ Notons $B_{\underline{x}} = B(\underline{x}, kh) = \{\underline{x}' \in \Omega \mid \|\underline{x} - \underline{x}'\|_2 \leq kh\}$.
- ▶ **ATTENTION** : Nous allons supposer pour le reste de cette section, que $B_{\underline{x}} \subset \Omega$.
- ▶ Par Taylor et les propriétés de W , on trouve :

$$\begin{aligned} \langle f(\underline{x}) \rangle &= \int_{B_{\underline{x}}} \left[f(\underline{x}) + [\text{Jac } f]_{\underline{x}} (\underline{x} - \underline{x}') \right] W(\underline{x} - \underline{x}', h) \, d\underline{x}' \\ &\quad + \int_{B_{\underline{x}}} \mathcal{O}(\|\underline{x} - \underline{x}'\|_2^2) W(\underline{x} - \underline{x}', h) \, d\underline{x}' \\ &= f(\underline{x}) + \mathcal{O}(h^2) \end{aligned}$$

Remarque

Ceci n'est pas toujours vrai lorsque $B_{\underline{x}} \not\subset \Omega$, car le terme contenant le jacobien ne s'annulera pas complètement.

- ▶ Notons $\mathcal{B}_i = \mathcal{B}(i, kh) = \{j \in \Psi \mid r_{ij} \leq kh\}$ et $\mathcal{B}'_i = \mathcal{B}_i \setminus \{i\}$.
- ▶ $\forall i \in \Psi$, on associe une position \underline{x}_k , une **masse** m_k et une densité ρ_k ,
- ▶ On discrétise sur les **éléments de masse** en remarquant que :
 $dm(\underline{x}) = \rho(\underline{x}) d\underline{x}$
- ▶ On obtient f_i , la **valeur discrétisée** de $\langle f(\underline{x}_i) \rangle$:

$$f_i = \sum_{j \in \mathcal{B}_i} \frac{m_j}{\rho_j} f_j W_{ij,h}$$

où $W_{ij,h} := W(\underline{x}_i - \underline{x}_j, h)$.

- ▶ L'obtention de l'approximation du gradient se fait en substituant $\underline{\nabla} f$ dans l'approximation de lissage.
- ▶ On obtient à l'aide d'une intégration par parties et du théorème de la divergence :

$$[\underline{\nabla} f]_i = - \sum_{j \in \mathcal{B}'_i} \frac{m_j}{\rho_j} f_j \underline{\nabla}_j W_{ij,h}$$

- ▶ L'erreur de lissage reste $\mathcal{O}(h^2)$.
- ▶ Nous allons utiliser une forme plus élaborée.

- ▶ Nous allons supposer que $m_k = m$, $\eta_k = \eta$ et $\rho_k = \rho$.
- ▶ les approximations discrètes des opérateurs différentiels que nous allons utiliser sont :

$$[\underline{\nabla}\phi]_i = \sum_{j \in B'_i} \frac{m}{\rho} (\phi_i + \phi_j) \underline{x}_{ij} \frac{1}{r_{ij}} \frac{\partial W_{ij,h}}{\partial r_{ij}}$$

$$[\underline{\nabla} \cdot \underline{u}]_i = \sum_{j \in B'_i} \frac{m}{\rho} (\underline{u}_i + \underline{u}_j) \cdot \underline{x}_{ij} \frac{1}{r_{ij}} \frac{\partial W_{ij,h}}{\partial r_{ij}}$$

$$[\Delta \underline{u}]_i = \sum_{j \in B'_i} 2 \frac{m}{\rho} \underline{u}_{ij} \frac{1}{r_{ij}} \frac{\partial W_{ij,h}}{\partial r_{ij}}$$

$$[\Delta \phi]_i = \sum_{j \in B'_i} 2 \frac{m}{\rho} \phi_{ij} \frac{1}{r_{ij}} \frac{\partial W_{ij,h}}{\partial r_{ij}}$$

En substituant, nous obtenons le schéma de discrétisation PMIII temporel et spatial :

$$\left(1 - \sum_{j \in \mathcal{B}_i^{n+1, \prime}} a_{ij}^{n+1}\right) \underline{u}_i^* + \sum_{j \in \mathcal{B}_i^{n+1, \prime}} a_{ij}^{n+1} \underline{u}_j^* = \underline{u}_i^n + \sum_{j \in \mathcal{B}_i^{n, \prime}} a_{ij}^n (\underline{u}_i^n - \underline{u}_j^n) + \Delta t \underline{f}_i^{n+\frac{1}{2}}$$

$$\left(\sum_{j \in \mathcal{B}_i^{n+1, \prime}} c_{ij}^{n+1}\right) \phi_i^{n+1} - \sum_{j \in \mathcal{B}_i^{n+1, \prime}} c_{ij}^{n+1} \phi_j^{n+1} = \sum_{j \in \mathcal{B}_i^{n+1, \prime}} \underline{d}_{ij}^{n+1} \cdot (\underline{u}_i^* + \underline{u}_j^*)$$

$$\underline{u}_i^{n+1} = \underline{u}_i^* - \sum_{j \in \mathcal{B}_i^{n+1, \prime}} \underline{e}_{ij}^{n+1} (\phi_i^{n+1} + \phi_j^{n+1})$$

$$p_i^{n+\frac{1}{2}} = \text{Re } \phi_i^{n+1} - \sum_{j \in \mathcal{B}_i^{n+1, \prime}} \underline{f}_{ij}^{n+1} \cdot (\underline{u}_i^* + \underline{u}_j^*) + K$$

- ▶ Reviens à résoudre les systèmes linéaires :

$$A\underline{u}^* = \underline{a} \quad \text{et} \quad B\phi^{n+1} = b$$

- ▶ A est **définie positive**.
- ▶ $-B$ est **semi-définie positive**. On va résoudre $-B\phi^{n+1} = -b$.
 - ▶ **Problème de Poisson** avec conditions de Neumann, Donc $-B$ sera **singulière**.
 - ▶ On ajoute 1 à un élément i de la diagonale pour fixer $\phi_i = 0$.
 - ▶ On devra forcer la **condition de compatibilité**.
- ▶ On résout à l'aide de la méthode du **gradient conjugué préconditionnée** couplée à une **décomposition incomplète de Cholesky**.

Plusieurs problèmes sont rencontrés lorsque nous étudions une particule située à proximité de la frontière.

- ▶ Un vide de particule se crée. Ainsi, il y a une chute dans la densité :

$$\rho_i = \sum_{j \in \mathcal{B}_i} m_j W_{ij,h}$$

- ▶ Terme résiduel contenant le Jacobien dans l'erreur de lissage.
- ▶ Comment imposer les conditions aux limites ?
- ▶ Quelles conditions aux limites doit-on imposer sur \underline{u}^* et ϕ^{n+1} ?

Lorsque la frontière est une droite :

- Étape 1 Pour chaque particule i , on crée une particule image i' à l'extérieur du domaine de façon symétrique.
- Étape 2 On impose des valeurs spécifiques aux champs des particules images pour satisfaire les conditions aux limites.

Le but est de satisfaire les conditions aux limites lorsque nous y évaluons l'approximation de lissage.

Condition de Dirichlet : Soit une condition de la forme :

$$[f(\underline{x})]_{\Gamma} = f_b(\underline{x})$$

Alors, on obtient par **extrapolation linéaire** :

$$f_{i'} = 2f_{i_b} - f_i$$

où, i_b est la projection de i sur Γ .

Condition de Neumann : Soit une condition de la forme :

$$\left[\frac{\partial f(\underline{x})}{\partial \underline{n}} \right]_{\Gamma} = g(\underline{x})$$

Alors, on obtient par **différence centrée** :

$$f_{i'} = 2r_{ii_b} g_{i_b} + f_i$$

Lorsque la frontière est courbée et lisse :

- Étape 1 Trouver les tangentes à la courbe \mathcal{T}_k sur chacun des marqueurs frontières k .
- Étape 2 Pour chaque voisin j de k , on crée une particule image j_k' symétrique par rapport à \mathcal{T}_k .
- Étape 3 On impose des valeurs spécifiques aux champs des particules images j_k' pour satisfaire les conditions aux limites de leurs marqueurs associés k .
- Étape 4 On garde, dans le voisinage d'une particule d'intérêt i , les images j_k' dont :
 - i) l'image j_k' est dans le voisinage de i ;
 - ii) le marqueur frontière k est dans le voisinage de i ;
 - iii) la particule mère j est dans le voisinage de i ;

- iv) l'image j_k' n'est pas dans l'intérieur du domaine ;
- v) il existe un chemin reliant la particule d'intérêt i et la particule mère j , complètement contenue dans le support compact. Dans le cas contraire, nous rejetons aussi la particule mère j .
- vi) D'autres conditions peuvent être appliquées.

Étape 5 Si la particule d'intérêt i possède comme voisin plusieurs particules images j_k' issues d'une même particule mère j , nous pondérons la masse des images en divisant par ce nombre d'occurrences.

Nous allons modifier l'étape 5 de la méthode

Étape 5 Si la particule d'intérêt i possède, comme voisin, plusieurs particules images j_k' issues d'une même particule mère j , on pose $m_{j_k'} = \alpha_{j_k'} m_j$, où :

$$\alpha_{j_k'} = \frac{W(ij_k', h)}{\sum_l W(ij_l', h)}$$

- ▶ De cette façon, l'impact qu'une particule image j_k' a sur la particule i dépend, **de manière consistante et continue**, de la position relative de la particule image j_k' par rapport à la position de i .

Soit $\underline{x}_k \in \Gamma = \Gamma_- \cup \{\underline{x}_k\} \cup \Gamma_+$ un point singulier ou de discontinuité des conditions aux limites, séparant la frontière en deux parties.

- Étape 1 On trouve les prolongements tangentiels $\underline{\tau}_{k_{\pm}}$ des courbes Γ_{\pm} en k , à l'aide de différences arrière et avant. On définit la tangente moyenne $\underline{\tau}_k$, en ce point.
- Étape 2 On duplique le marqueur. On obtient k_- associé à Γ_- et k_+ associé à Γ_+ .
- Étape 3 On impose sur k_{\pm} les conditions aux limites de Γ_{\pm} , respectivement.
- Étape 4 Toutes particules images issues des marqueurs k_{\pm} verront leurs contributions coupées de moitié, c'est-à-dire que nous diviserons leurs masses de moitié.
- Étape 5 On applique ensuite la méthode des tangentes multiples pondérées, en utilisant $\underline{\tau}_k$.

Obstacle rigide : Conditions de non-pénétration et de non-dérage.

- ▶ Définit par $\underline{u}^{n+1} = \underline{0}$.
- ▶ On pose $\frac{\partial}{\partial \underline{n}} \phi^{n+1} = 0$.
- ▶ Alors,

$$\begin{aligned}\underline{u}^* \cdot \underline{n} &= 0 \\ \underline{u}^* \cdot \underline{t} &= \Delta t \underline{\nabla} \tilde{\phi}^{n+1} \cdot \underline{t}\end{aligned}$$

- ▶ Ici, $\tilde{\phi}^{n+1}$ est une approximation de ϕ^{n+1} .
- ▶ Par exemple, $\tilde{\phi}^{n+1} = \phi^n$.

Symétrie : Conditions de non-pénétration de force de cisaillement nulle.

- ▶ Définit par $\underline{u}^{n+1} \cdot \underline{n} = 0$ et $\underline{t} \cdot \underline{\underline{\sigma}}^{n+1} \cdot \underline{n} = 0$.
- ▶ On suppose que la ligne de symétrie est en $x = 0$. La seconde condition devient $\frac{\partial}{\partial \underline{n}} [\underline{u}^{n+1} \cdot \underline{t}] = 0$.
- ▶ On pose $\frac{\partial}{\partial \underline{n}} \phi^{n+1} = 0$.
- ▶ Alors,

$$\underline{u}^* \cdot \underline{n} = 0$$
$$\frac{\partial}{\partial \underline{n}} [\underline{u}^* \cdot \underline{t}] = 0$$

Surface libre : Conditions cinématique et dynamique :

- ▶ Définit par $\underline{U}^{n+1} \cdot \underline{n} = \underline{u}^{n+1} \cdot \underline{n}$ et $\left[\underline{\underline{\sigma}} \right] \cdot \underline{n} = \tau \kappa \underline{n}$. où \underline{U} est la **vitesse des marqueurs frontières**, $\left[\underline{\underline{\sigma}} \right] = \underline{\underline{\sigma}}_f - \underline{\underline{\sigma}}_g$ est le saut de stress sur l'interface, $\underline{\underline{\sigma}}_g$ est le tenseur de Cauchy du gaz et $\underline{\underline{\sigma}}_f$ celui du fluide, τ est la **tension de surface** et κ la **courbure**.
- ▶ On suppose que $\tau = 0$ et la pression du gaz $p_g = 0$. Ainsi, $\underline{\underline{\sigma}}_f \cdot \underline{n} = \mathbf{0}$.
- ▶ **Approximation non-visqueuse** : sur une frontière libre, on suppose que les termes visqueux deviennent négligeables.
- ▶ On déduit que $p^{n+\frac{1}{2}} = 0$.
- ▶ En substituant dans le schéma PMIII, nous obtenons :

$$\phi^{n+1} = \frac{1}{2 \text{Re}} \nabla \cdot \underline{u}^*$$

- ▶ Pour calculer \underline{u}^* près de la frontière, nous allons normaliser W_{ij} , en le divisant par $\sum \frac{m}{\rho} W_{ij}$.

- Suite d'approximations successives $\{\underline{x}^{n,[k]}\}_{k \in \mathbb{N}}$ de \underline{x}^{n+1} , tel que :

$$\begin{cases} \underline{x}^{n,[0]} = \underline{x}^n + \Delta t \underline{u}^n \\ \lim_{k \rightarrow \infty} \underline{x}^{n,[k]} = \underline{x}^{n+1} \end{cases} \quad (2)$$

- Résoudre, par la [méthode de Broyden](#), les systèmes d'équations non-linéaires :

$$\underline{0} = \underline{g}_i^{n,[k]}(\underline{z}) = \underline{z} - \underline{x}_i^n - \frac{\Delta t}{2} [\underline{u}_i^n + \underline{u}^{n+1,[k]}(\underline{z})]$$

où

$$\underline{u}^{n+1,[k]}(\underline{z}) = \sum_{j \in \mathcal{B}_{\underline{z}}^{n+1,[k]}} \frac{m}{\rho} \underline{u}_j^{n+1,[k]} W(\underline{z} - \underline{x}_j^n, h)$$

- ▶ C'est un écoulement causé par un **gradient de pression constant** situé entre 2 plaques infinies et parallèles fixées, séparées d'une longueur H .
- ▶ Soit le domaine $\Omega = \left\{ \underline{x} = (x, y) \in \mathbb{R}^2 \mid \frac{H}{2} < y < \frac{H}{2} \right\}$ et la frontière $\Gamma = \left\{ (x, -\frac{H}{2}) \in \mathbb{R}^2 \right\} \cup \left\{ (x, \frac{H}{2}) \in \mathbb{R}^2 \right\}$
- ▶ Condition initiale :
$$\underline{u}(\underline{x}, 0) = 0$$
- ▶ Conditions aux limites :
$$\underline{u}(\Gamma, t) = 0$$
- ▶ On suppose que $\underline{u} = (u(y, t), 0)$.

- ▶ Soit $\underline{f} = (f, 0)$ la force par unité de masse générant cet écoulement.
- ▶ La **vitesse maximale** de l'écoulement sera $U = \frac{fH^2}{8\nu}$ avec $\nu = \frac{\eta}{\rho}$, le **coefficient de viscosité dynamique**.
- ▶ On adimensionne avec U et H . Ainsi, la **solution analytique adimensionnée** est :

$$u(y, t) = -4 \left(y + \frac{1}{2} \right) \left(y - \frac{1}{2} \right) - \frac{32}{\pi^3} \sum_{n=0}^{\infty} \frac{1}{(2n+1)^3} \sin \left[\pi(2n+1) \left(y + \frac{1}{2} \right) \right] \cdot \exp \left[-\frac{\pi^2}{\text{Re}} (2n+1)^2 t \right]$$

où, maintenant, $f = \frac{8}{\text{Re}}$.

- ▶ Pour économiser sur le calcul, nous allons profiter de la symétrie du problème.
- ▶ **Domaine de résolution :**

$$\Omega = \left\{ \underline{x} = (x, y) \in \mathbb{R}^2 \mid -H \leq x < 0, 0 < y < \frac{H}{2} \right\}$$
- ▶ Les conditions aux limites sont donc :

$$\Gamma_m = \left\{ \left(x, \frac{H}{2} \right) \mid -H \leq x < 0 \right\} \quad \longrightarrow \text{Obstacle rigide}$$

$$\Gamma_s = \{ (x, 0) \mid -H \leq x < 0 \} \quad \longrightarrow \text{Symétrique}$$

$$\Gamma_i = \left\{ (-H, y) \mid 0 < y < \frac{H}{2} \right\} \quad \longrightarrow \text{Périodique}$$

$$\Gamma_o = \left\{ (0, y) \mid 0 < y < \frac{H}{2} \right\} \quad \longrightarrow \text{Périodique}$$

- ▶ Répartition initiale des particules sur une grille régulière :

$$\left\{ (x_i, y_j) \mid 1 \leq i \leq N, 1 \leq j \leq \frac{N}{2} \right\}$$

où

$$(x_i, y_j) = \left(\left[i - \frac{1}{2} \right] dx - 1, \left[j - \frac{1}{2} \right] dy \right)$$

- ▶ N^2 est le nombre de particules dans le domaine complet.
- ▶ $dx = dy = \frac{H}{N}$ sont les distances horizontales et verticales initiales interparticulaires.
- ▶ Paramètres physiques : $\rho = 10^3$, $\eta = 10^{-3}$, $H = 10^{-3}$ et $U = 1.25 \times 10^{-5}$.
- ▶ Temps final adimensionné $T = 1.25 \times 10^{-2}$.
- ▶ Pas de temps adimensionné $\Delta t = 1.25 \times 10^{-4}$.

Écoulement de Poiseuille

- ▶ Supposons que le problème est **unidimensionnel** et que les particules sont distribuées **uniformément**.
- ▶ Supposons aussi que $\frac{h}{\Delta x} \in \left\{ \frac{2n+1}{4} \mid n \in \mathbb{N} \right\}$.
- ▶ Alors, l'**erreur total** est donnée par :

$$E_t = E_l + E_d = f'_i - \sum_{j \in \mathcal{B}'_i} \Delta x f_j W'_j$$

$$\approx -Ah^2 + \mathcal{O}(h^4) + B \left(\frac{h}{\Delta x} \right)^{-4} [C + \mathcal{O}(h^2)] + \mathcal{O} \left(\left[\frac{h}{\Delta x} \right]^{-6} \right)$$

Remarque

Ceci n'est pas exactement vrai pour la fonction spline cubique. En effet, ce résultat est exact seulement pour des $W \in C^\infty$ sur l'intérieur de leurs supports compacts de rayon $2h$ et de régularité $\beta = 2$ sur les frontières.

- ▶ L'erreur dépend simultanément de h et du ratio $\frac{h}{\Delta x}$.
- ▶ Lorsque $\left(\frac{h}{\Delta x}\right)^{-1} \rightarrow 0$, l'erreur de lissage dominera avec h^2 .
- ▶ Lorsque $h \rightarrow 0$ et que Δx est fixé, l'erreur de discrétisation domine avec $\left(\frac{h}{\Delta x}\right)^{-4}$.
- ▶ Ce n'est pas suffisant d'avoir $h \rightarrow 0$, nous devons aussi veiller à ce que $\frac{h}{\Delta x}$ reste suffisamment gros par rapport à h .

Nous avons supposé une relation de proportionnalité $\frac{h}{\Delta x} = k$

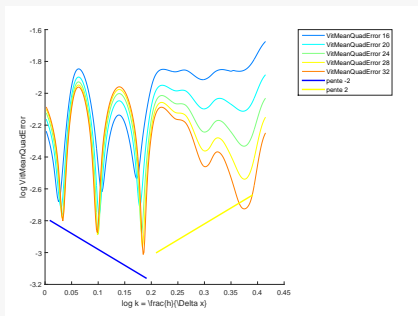


FIGURE: Erreurs en fonction de k pour différents Δx fixés

Il s'agit de l'erreur moyenne quadratique.

- ▶ Lorsque h est trop petit, nous perdons la convergence d'ordre 2.
- ▶ L'erreur de discrétisation se comporte comme $\left(\frac{h}{\Delta x}\right)^{-2}$.
Les particules se déplacent !
- ▶ L'erreur ne se comporte pas de façon monotone.
L'analyse est exacte que pour certains k
- ▶ Nous pouvons facilement observer que le comportement local de l'erreur, là où l'erreur de discrétisation domine, change sur une période Δk correspondant à l'ajout d'un aire Δx de chaque côté du support compact.
Chevauchement des éléments de masses sur le support
- ▶ En fait, ceci n'est pas exactement vrai. En effet, il y a un léger décalage entre les k associés à ces minimums locaux et ceux que nous observons.
Deux dimensions
- ▶ Il existe un minimum global de l'erreur en $k \approx 1.52$.

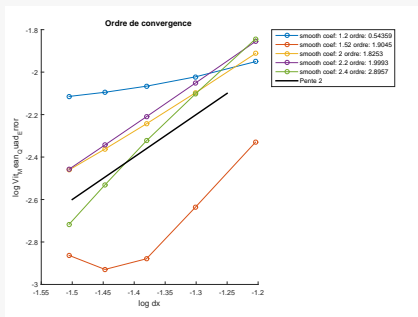


FIGURE: Ordre de convergence en fonction de Δx pour différentes valeurs de k

Comme nous pouvons le voir, en choisissant raisonnablement k , nous obtenons l'ordre de convergence désiré $\mathcal{O}(\Delta x^2)$.

Dans ce travail nous avons :

- ▶ Obtenue une meilleure compréhension du comportement global de l'erreur.
- ▶ Développé une méthode sans maillage et lagrangienne d'ordres $\mathcal{O}(\Delta t^2)$, $\mathcal{O}(\Delta x^2)$ et $\mathcal{O}\left(\left[\frac{h}{\Delta x}\right]^{-4}\right)$.
- ▶ Trouvé une approximation des conditions aux limites sur une surface libre.
- ▶ Perfectionné un algorithme pour bien gérer les surfaces libres, frontières non-lisses et conditions aux limites discontinues. (**Bientôt finit !**)

- B. Ataie-Ashtiani, G. Shobeyri et L. Farhadi. *Modified incompressible SPH method for simulating free surface problems*. Fluid Dyn. Research, **40** : 637–661, 2008.
- M. Benoune, J. Morin-Drouin et R.G. Owens. On the condition for the immersed interface method.
- F. Bierbrauer, P.C. Bollada et T.N. Phillips. *A consistent reflected image particle approach to the treatment of boundary conditions in smoothed particle hydrodynamics*. Comput. Methods Appl. Mech. Engrg., **198** : 745–762, 2009.
- D.L. Brown, R. Cortez et M.L. Minion. *Accurate projection methods for the incompressible Navier–Stokes equations*. J. Comp. Phys., **168** : 464–499, 2001.
- A.J. Chorin. *Numerical Solution of the Navier Stokes Equations*. Math. Computation, **22** : 3400–34102, 1968.

- A.J. Chorin et J.E. Marsden. *A Mathematical Introduction to Fluid Mechanics*. Springer, third edition, 1992.
- S. Claus. PhD thesis.
- T. El-Gammal, E.E. Khalil, H. Haridy et E. Abo-Serie. *Influence of smoothing length and virtual particles on SPH Accuracy*. Int. J. Mat. Mech. Manu., **1** : 166–170, 2013.
- S. J. Cummins et M. Rudman. *An SPH projection method*. J. Comp. Phys., **152** : 584–607, 1999.
- J. Kim et P. Moin. *Application of a Fractional-Step Method to Incompressible Navier-Stokes Equations*. J. Comp. Phys., **59** : 308–323, 1985.
- A. Limache et S. Idelsohn. *Laplace form of navier-stokes equations : A safe path or a wrong way?* Mecánica Computacional, **XXV** : 151 – 168, 2006.

- M.B. liu et G.R. Liu. *Smoothed Particle Hydrodynamics (SPH) : an Overview and Recent Developments*. Arch. Comp. Meth., **17** : 25–76, 2010.
- J.J. Monaghan. *Smoothed Particle Hydrodynamics*. Rep. Prog. Phys., **68** : 1703–1759, 2005.
- R.G.K. Noutcheuwa. *Une nouvelle méthode smoothed particle hydrodynamics : simulation des interfaces immergées et de la dynamique Brownienne des molécules avec des interactions hydrodynamiques*. PhD thesis, Université de Montréal, 2012.
- R.G.K. Noutcheuwa et R.G. Owens. *A new incompressible smoothed particle hydrodynamics-immersed boundary method*. Int. J. Num. Analysis. Model., **3** : 126–167, 2012.
- N.J. Quinlan, M. Basa et M. Lastiwka. *Truncation error in mesh-free particle methods*. Int. J. Num. Meth. Engrg., **66** : 2064–2085, 2006.

- S.H. Sadek. Modeling die swell of second-order fluids using sph. Master's thesis, Sabanci University, 2010.
- S.M. Shadloo, A. Zainali, S.H.. Sadek et M. Yildiz. *Improved Incompressible Smoothed Particle Hydrodynamics method for simulating flow around bluff bodies*. Comput. Methods Appl. Mech. Engrg., **200** : 1008–1020, 2011.
- S. Shao et Edmond Y.M. Lo. *Incompressible SPH method for simulating Newtonian and non-Newtonian flows with a free surface*. Adv. Water. Resc., **26** : 787–800, 2003.
- S. Viau, P. Bastien et S-H. Cha. *An implicit method for radiative transfert with diffusion approximation in smooth particle hydrodynamics*. Astrophys. J., **639** : 559–570, 2006.
- M. Yildiz, R.A. Rook et A. Suleman. *SPH with the multiple boundary tangent method*. Int. J. Num. Meth. Engrg., **77** : 1416–1438, 2008.